

УДК 537.311.33

© 1990

## ОБРАЗОВАНИЕ ВРЕМЕННЫХ СТРУКТУР ПРИ ДВУХФОТОННОМ ВОЗБУЖДЕНИИ БИЭКСИТОНОВ В ТВЕРДЫХ ТЕЛАХ

*В. А. Залож, А. Х. Ротару*

Изучена оптическая самоорганизация в системе когерентных биэкситонов при их двухфотонном возбуждении из основного состояния кристалла. Показано, что в зависимости от значений параметров возможно образование метастабильных, нелинейных периодических и стохастических временных структур.

В настоящее время уделяется большое внимание изучению возникновению пространственных, временных и пространственно-временных структур в различных областях физики, биологии, химии и др. Особый интерес представляет исследование явлений оптической самоорганизации в полупроводниках в связи с большими значениями нелинейностей и малыми временами релаксации.

Этим явлениям посвящено большое количество как экспериментальных, так и теоретических работ. Хакен и Ораевский [1, 2] показали, что система уравнений Максвелла—Блоха, описывающая взаимодействие электромагнитного поля с системой двухуровневых атомов, гомологична знаменитой системе уравнений Лоренца [3], которая помимо простых аттракторов обладает особыми притягивающими множествами в фазовом пространстве — странными аттракторами, наличие которых свидетельствует о динамической стохастичности в диссипативных системах.

Возникновению хаотических временных структур в оптике посвящены работы [4–6]. Периодическая и хаотическая светодинамика в бистабильных оптических устройствах типа нелинейных резонаторов Фабри—Перо и кольцевых резонаторов рассмотрена в [7–10].

Изучение периодических и хаотических временных структур в системе экситонов и биэкситонов в конденсированных средах началось сравнительно недавно. В [11–16] нами изучены явление оптической турбулентности при биэкситон-экситонных и экситон-экситонных переходах в полупроводниках, периодическая и стохастическая динамика когерентных экситонов, фотонов и биэкситонов. Совсем недавно [17] показана принципиальная возможность возникновения нового кооперативного эффекта — периодических и стохастических самопульсаций на длинноволновом краю собственного поглощения кристалла при резонансном возбуждении экситонов большой плотности. Двухфотонному возбуждению биэкситонов посвящены работы [18–20].

Цель настоящей работы — изучение нелинейной динамики и самоорганизации временных структур в системе когерентных фотонов и биэкситонов при резонансном двухфотонном возбуждении последних.

Двухфотонная временная эволюция (нута́ция) когерентных биэкситонов изучена в [21, 22], когда длительность импульса меньше характерных времен релаксации и система является гамильтоновой. Как известно, в гамильтоновых системах отсутствуют асимптотические устойчивые состояния и устойчивые предельные циклы [23]. Между тем времена релаксации фотонов и биэкситонов в полупроводниках очень малы и роль про-

цессов диссипации существенна. Поэтому анализ динамической эволюции системы когерентных биэкситонов и фотонов требует их учета. Учет процессов рассеяния когерентных квазичастиц приводит к затуханию возникающих в данной системе колебаний, и отличных от нуля стационарных состояний биэкситонов и фотонов не существует.

Ситуация существенно изменяется, если учесть внешнюю накачку. Изученные нами автоколебания существенно отличаются от свободной нутации когерентных биэкситонов и фотонов [21, 22]. Одновременный учет действия внешней накачки и затуханий приводит к возникновению долгоживущих нелинейных колебаний и возникновению сложных аттракторов в фазовом пространстве, что может служить новым способом идентификации биэкситонов в конденсированных средах.

## 1. Гамильтониан задачи и основные уравнения

Ниже мы рассмотрим теорию образования временных структур в случае двухфотонного возбуждения биэкситонов из основного состояния кристалла в условиях действия внешней накачки и учета процесса затухания. Будем предполагать, что как фотонная, так и биэкситонная моды являются когерентными, т. е. имеют одни и те же волновые векторы, поляризации и фазы, а их амплитуды макроскопически велики. Фактически это означает, что фотоны и биэкситоны находятся в состоянии бозе-эйнштейновской конденсации. Такого рода состояния реализованы экспериментально [24]. С помощью двухфотонной методики на встречных и параллельных пучках получена вынужденная бозе-эйнштейновская конденсация биэкситонов в кристаллах  $\text{CuCl}$  в точках  $\mathbf{k}=0$  и  $\mathbf{k}=2\mathbf{k}_0$  зоны Бриллюэна, где  $k_0$  — волновой вектор фотона с энергией, равной половине энергии образования биэкситона. Благодаря гигантской силе осциллятора такие бозе-конденсированные биэкситоны будут распадаться на два фотона и этот процесс взаимного превращения в присутствии внешней накачки и затухания может продолжаться сколь угодно долго.

Гамильтониан задачи в импульсном представлении для выделенной моды фотонов и биэкситонов, характеризующейся волновым вектором  $\mathbf{k}$ , имеет вид

$$H = \hbar\omega_M b_{\mathbf{k}}^{\dagger} b_{\mathbf{k}} + \hbar\omega_L c_{\mathbf{q}}^{\dagger} c_{\mathbf{q}} + (i\hbar M/\sqrt{V}) (c_{\mathbf{q}}^{\dagger} c_{\mathbf{q}}^{\dagger} b_{\mathbf{k}} - b_{\mathbf{k}}^{\dagger} c_{\mathbf{q}} c_{\mathbf{q}}), \quad (1)$$

где  $b_{\mathbf{k}}^{\dagger}$ ,  $c_{\mathbf{k}}^{\dagger}$  — операторы рождения биэкситона и фотона с волновым вектором  $\mathbf{k}$ ;  $\hbar\omega_M$  — энергия образования биэкситона;  $\hbar\omega_L$  — энергия фотона;  $M$  — матричный элемент двухфотонного возбуждения биэкситона из основного состояния кристалла [18, 19];  $V$  — объем кристалла.

Гамильтонианы, обеспечивающие внешнюю накачку и затухание, мы учтем на определенном этапе феноменологически. Отметим, что они могут быть учтены строго в рамках квантовой теории затуханий и флуктуаций с использованием управляющего уравнения Фоккера—Планка, потоковая часть которого определяет динамику классических траекторий [25]. Это приводит к существенному усложнению задачи, однако не меняет конечную систему нелинейных дифференциальных уравнений, описывающих динамическую эволюцию системы.

Гейзенберговские уравнения движения для операторов  $c$  и  $b$  имеют вид

$$dc/dt = -i\omega_L c + 2Mc^{\dagger}b/\sqrt{V}, \quad db/dt = -i\omega_M b - Mc/\sqrt{V}. \quad (2)$$

Здесь и далее опускаем индексы волновых векторов у операторов  $c_{\mathbf{k}}$  и  $b_{\mathbf{k}}$ . Решения для макроскопических величин  $c$  и  $b$  ищем в виде

$$c = \sqrt{V} \bar{c} e^{-i\omega_L t}, \quad b = \sqrt{V} \bar{b} e^{-2i\omega_L t}. \quad (3)$$

Подставляя (3) в (2) и вводя феноменологически в уравнения движения члены с константами затухания фотонов  $\gamma_L$  и биэкситонов  $\gamma_M$ , а также когерентную накачку в фотонную моду  $\mathcal{F}$ , получаем

$$d\bar{c}/dt = -\gamma_L \bar{c} + 2M\bar{c}^* \bar{b} + \mathcal{F}, \quad d\bar{b}/dt = i(2\omega_L - \omega_M) \bar{b} - \gamma_M \bar{b} - M\bar{c}\bar{c}. \quad (4)$$

В дальнейшем удобно перейти к новым безразмерным переменным

$$y = \bar{c}/c_0, \quad z = \bar{b}/b_0, \quad c_0 = b_0 = \gamma_M/2M, \quad P_0 = (2M/\gamma_M^2) \mathcal{F}, \\ \sigma = \gamma_L/\gamma_M, \quad \delta = (2\omega_L - \omega_M)/\gamma_M, \quad T = \gamma_M t. \quad (5)$$

Тогда система уравнений (4) принимает вид

$$dy/dT = -\sigma y + y^* z + P_0, \quad dz/dT = -1/2 y^2 + i\delta z - z. \quad (6)$$

Эти уравнения полностью описывают динамическую эволюцию однородно распределенных в кристалле когерентных фотонов и биэкситонов в условиях действия внешней накачки и затуханий. В самом общем случае величины  $y$  и  $z$  являются комплексными, поэтому система уравнений (6) состоит из четырех независимых обыкновенных нелинейных дифференциальных уравнений. Они относятся к классу нелинейных дифференциальных уравнений, описывающих открытые динамические системы. Для таких уравнений возможны стационарные решения. Однако в зависимости от соотношения между параметрами не все стационарные решения являются устойчивыми. Поэтому анализ решений уравнения (6) связан с решением вопроса об устойчивости стационарных состояний. Последние определяются из условия  $dy/dT = \dot{a}z/dT = 0$ . Из (6) легко получить

$$\omega_S \left[ \frac{\omega_S^2}{4(1+\delta^2)} + \frac{\sigma}{1+\delta^2} \omega_S + \sigma^2 \right] = P_0^2, \quad n_S = \frac{\omega_S^2}{4(1+\delta^2)}, \quad (7)$$

где  $w = y^* y$ ,  $n = z^* z$  — безразмерные плотности фотонов и биэкситонов. Как видно из (7), есть только одно стационарное состояние ( $\omega_S$ ,  $n_S$ ) для заданного значения внешней накачки  $P_0$ . Таким образом, при двухфотонном возбуждении из основного состояния кристалла фотонами одного и того же импульса гистерезисные эффекты не имеют места. Аналогичный результат был получен в [26] при изучении явления оптической бистабильности биэкситонов в резонаторах, где показано, что при увеличении входной амплитуды света имеет место режим ограничения амплитуды выходящего из резонатора сигнала. Там же показано, что оптическая бистабильность возможна, когда в процессе двухквантового возбуждения биэкситона принимают участие фотоны двух различных импульсов света.

Представляя комплексные величины  $y$  и  $z$  в виде  $y = x_1 + ix_2$ ,  $z = z_1 + iz_2$ , из (6) получаем

$$dx_1/dT = -\sigma x_1 + x_1 x_3 + x_2 x_4 + P_0, \quad dx_2/dT = -\sigma x_2 + x_1 x_4 - x_2 x_3, \quad dx_3/dT = \\ = -1/2 (x_1^2 - x_2^2) - x_3 - \delta x_4, \quad dx_4/dT = -x_1 x_2 + \delta x_3 - x_4. \quad (8)$$

Система нелинейных дифференциальных уравнений (8) является основой для рассмотрения вопроса о возможности возникновения временных структур при двухфотонном возбуждении биэкситонов.

## 2. Временные структуры в системе когерентных фотонов и биэкситонов. Качественный анализ и численный эксперимент

Уравнения (8) являются частным случаем изучения эволюции систем вида

$$\dot{\mathbf{x}} = \mathbf{F}(\mathbf{x}),$$

где  $\mathbf{x}$  — вектор в пространстве  $R^n$  и  $n > 1$ , каждая из компонент которого описывает одну моду;  $\mathbf{F}(\mathbf{x})$  является векторным полем системы. Для диссипативных систем имеет место сокращение объема фазового пространства. Рассматривая движение точек в фазовом пространстве (8) как движение жидкости с дивергенцией

$$\partial \dot{x}_1 / \partial x_1 + \partial \dot{x}_2 / \partial x_2 + \partial \dot{x}_3 / \partial x_3 + \partial \dot{x}_4 / \partial x_4 = -2(\sigma + 1), \quad (9)$$

приходим к выводу, что любой малый объем фазового пространства стремится к нулю при  $T \rightarrow \infty$  со скоростью, не зависящей от  $x_i$ , с характерным временем  $(2\sigma+2)^{-1}$ . Однако это вовсе не означает, что малый объем фазового пространства стягивается в точку. Он может растекаться по поверхности, причем точки любого элемента фазового пространства притягиваются к некоторому подмножеству, размерность которого меньше, чем у исходного пространства.

Если стационарные решения неустойчивы, то в этом случае аттракторами в фазовом пространстве могут быть либо предельный цикл, либо тор, либо странный аттрактор, что соответствует нелинейным периодическим, квазипериодическим и хаотическим колебаниям в системе. Характерным свойством последних является то, что хаотические движения появляются

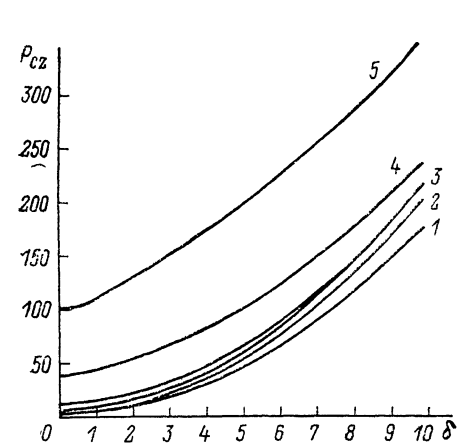


Рис. 1. Зависимость эффективной накачки  $P_{\text{эф}}$  от расстройки резонанса  $\delta$  при  $\sigma=0$  (1), 0.5 (2), 1 (3), 5 (4), 10 (5).

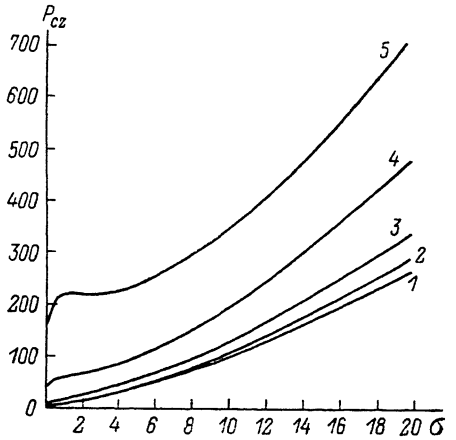


Рис. 2. Зависимость  $P_{\text{эф}}$  от  $\sigma$  при  $\delta=0$  (1), 1 (2), 2 (3), 5 (4), 10 (5).

не благодаря введению случайных функций в начальные условия или действию случайных сил. Их появление является внутренним свойством системы и связано со сложным движением неустойчивых траекторий в фазовом пространстве.

Исследуем далее на устойчивость стационарные состояния системы. Характеристическое уравнение системы (8) имеет вид

$$\lambda^4 + a_1\lambda^3 + a_2\lambda^2 + a_3\lambda + a_4 = 0, \quad (10)$$

где

$$a_1 = 2(\sigma + 1), \quad a_2 = -\omega_S^2/4(1 + \delta^2) + 2\omega_S + \sigma^2 + 1 + \delta^2, \quad a_3 = 2[-\omega_S^2/4(1 + \delta^2) + (\sigma + 1)\omega_S + \sigma^2 + \sigma(1 + \delta^2)], \quad a_4 = 3/4\omega_S^2 + 2\sigma\omega_S + \sigma^2(1 + \delta^2),$$

$\omega_S$  — стационарное значение плотности фотонов, определяемое уравнением (7).

Стационарное состояние устойчиво, если определители диагональных миноров матрицы Гурвица положительны, т. е.

$$a_1 > 0, \quad a_1a_2 - a_3 > 0, \quad a_3(a_1a_2 - a_3) - a_1^2a_4 > 0, \quad a_4 > 0. \quad (11)$$

Первое и четвертое условия (11) выполняются всегда при любых параметрах системы. Второе условие выполняется при выполнении неравенства  $0 < \omega_S < \omega_2(\sigma, \delta)$ , где

$$\omega_2(\sigma, \delta) = (R_2 + \sqrt{R_3^2 + 4R_1R_2})/(2R_1), \quad R_1 = \sigma/4(1 + \delta^2), \quad R_2 = (\sigma + 1), \quad R_3 = \sigma(\sigma + 2)^2 + 1 + \delta^2. \quad (12)$$

Наконец, третье условие представляет собой неравенство четвертой степени относительно  $\omega_S$ , которое можно решить численно. Качественный

анализ показывает, что оно выполняется при условии  $0 < \omega_S < \omega_{cr}$ , где  $\omega_{cr}$  — корень уравнения четвертой степени.

Если использовать монотонность уравнения (7), то можно сделать вывод, что для каждой пары параметров существует некоторая критическая

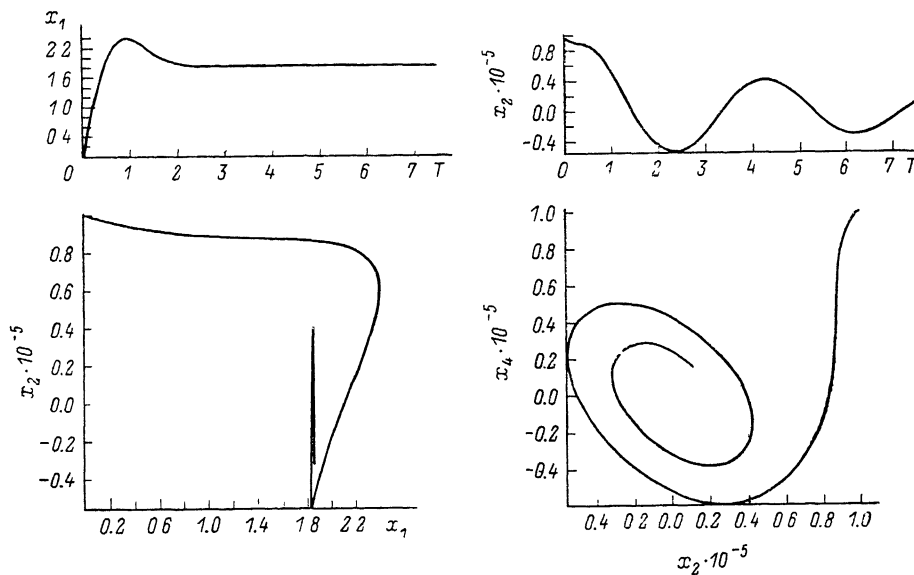


Рис. 3. Зависимости амплитуды и фазы фотонного поля от времени и соответствующие проекции фазовых траекторий.

накачка  $P_{cr} = P_{cr}(\sigma, \delta)$ , ниже которой стационарное состояние устойчиво, а выше неустойчиво. Именно в области неустойчивости в линейном приближении и возможны образования различных временных структур.

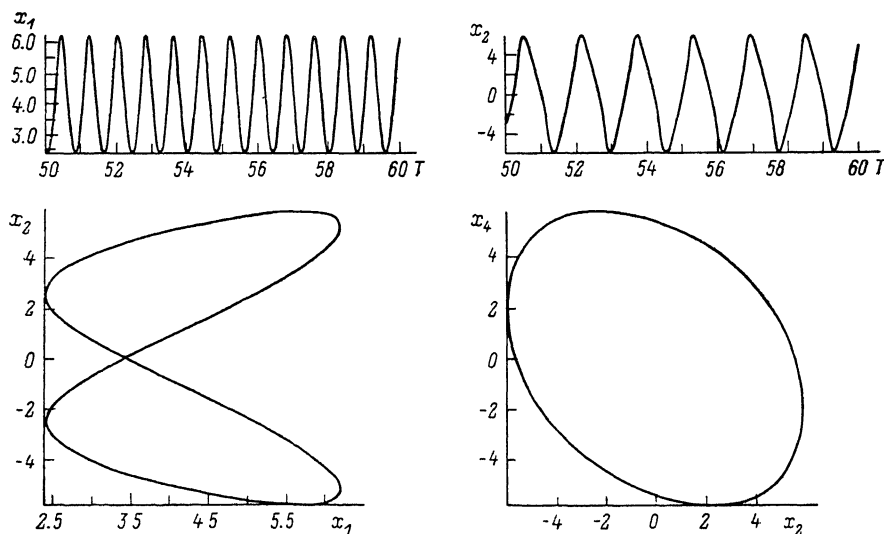


Рис. 4. Временная эволюция когерентных фотонов и фазовый портрет. Образование предельного цикла.

Поскольку до настоящего времени отсутствует общий алгоритм решения нелинейных дифференциальных уравнений в аналитическом виде, мы приводим результаты численного интегрирования системы (8) при различных параметрах.

На рис. 1 представлены зависимости бифуркационных значений эффективной накачки  $\delta$  от расстройки резонанса при различных  $\sigma$ . В области

значений накачки ниже соответствующих кривых стационарного состояния является устойчивым в линейном приближении, выше — неустойчивым, где и возникают временные структуры. Из этого рисунка видно, что чем больше  $\sigma$  (интенсивное затухание фотонной моды), тем больше накачки нужны для возбуждения нелинейных колебаний. На рис. 2 представлены зависимости  $P_{cr}$  от параметра  $\sigma$  при различных значениях расстройки резонанса  $\delta$ . С ростом  $\delta$  накачки, необходимые для возникновения колебаний в системе, увеличиваются.

На рис. 3 представлены зависимости амплитуды  $x_1$  и фазы  $x_2$  внутреннего электромагнитного поля и проекции фазовых траекторий на плоскости  $(x_1, x_2)$  и  $(x_2, x_4)$  при  $\sigma=1, \delta=0, P_0=5 < P_a$ . При этих значениях параметров система быстро приходит к стационарному состоянию спустя  $T \sim 2 \div 8$  безразмерных единиц времени, а фазовые траектории притягиваются к простому аттрактору.

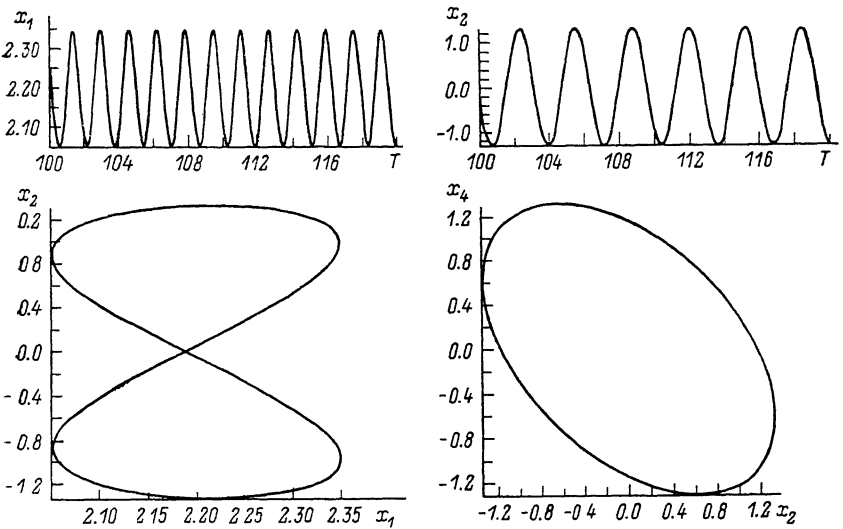


Рис. 5. Бифуркация одного предельного цикла в другой с удвоением периода.

На рис. 4, 5 изображены зависимости  $x_1$  и  $x_2$  от времени и соответствующие проекции фазовых траекторий при  $\sigma=1, \delta=0, P_0=20$  и  $P_0=7$  соответственно. Видно, что в системе устанавливаются устойчивые нелинейные периодические колебания. Фазовые диаграммы этих режимов колебаний представляют собой предельные циклы. При изменении величины внешней накачки происходит бифуркация из одного предельного цикла в другой с удвоением периода. При дальнейшем изменении параметра  $P_0$  мы наблюдали последовательность бифуркаций удвоения периода, которые, как правило, приводят к образованию стохастических динамических структур. В настоящее время численный эксперимент продолжается с целью получения странных аттракторов при двухфотонном возбуждении биэкситонов.

#### Список литературы

- [1] Хакен Х. Синергетика. М.: Мир, 1980. 404 с.
- [2] Ораевский А. Н. // Квант. электр. 1981. Т. 8. № 1. С. 130—142.
- [3] Лоренц Э. // Странные аттракторы. М.: Мир, 1981. 250 с.
- [4] Acherhalt J. R., Miloni P. W., Shin M. L. // Phys. Reports. 1985. V. 128. N 4—5. P. 205—300.
- [5] Ораевский А. Н. // Тр. ФИАН. 1986. Т. 171. С. 3—29.
- [6] Harrison R. G., Biswas D. J. // Progr. Quantum Electron. 1985. V. 10. N 3. P. 145—228.
- [7] Ikeda K. // Opt. Comm. 1979. V. 30. N 4. P. 257—261.
- [8] Ikeda K., Daido H., Akimoto O. // Phys. Rev. Lett. 1980. V. 40. N 9. P. 709—712.
- [9] Lugiato L. A., Narducci L. M., Bandy D. K., Pennice C. A. // Opt. Comm. 1982. V. 43. P. 281—286.

- [10] Snapp R. R., Carmichael H. J., Schieve W. C. // *Opt. Comm.* 1981. V. 40. P. 68—73.
- [11] Rotaru A. H., Shibarshina G. D. // *Phys. Lett.* 1985, V. 109A. N 6. P. 292—294.
- [12] Ротару А. Х. // *ФТТ.* 1986. Т. 28. № 8. С. 2492—2494.
- [13] Ротару А. Х. // *ФТТ.* 1987. Т. 29. № 11. С. 3282—3287.
- [14] Moskalenko S. A., Rotaru A. H., Shvera Yu. M., Zaloj V. A. // *Phys. St. Sol. (b).* 1988. V. 149. N 1. P. 187—194.
- [15] Moskalenko S. A., Rotaru A. H., Zaloj V. A. // *Phys. St. Sol. (b).* 1988. V. 150. N 2. P. 401—406.
- [16] Ротару А. Х., Залож В. А. // *ФТТ.* 1987. Т. 29. № 11. С. 3438—3441.
- [17] Залож В. А., Москаленко С. А., Ротару А. Х. // *ЖЭТФ.* 1989. Т. 95. № 2. С. 601—612.
- [18] Hanamura E. // *Sol. St. Comm.* 1973. V. 12. N 9. P. 951—953.
- [19] Hanamura E. // *J. Phys. Soc. Jap.* 1975. V. 39. N 6. P. 1516—1524.
- [20] Gale G. M., Mysyrowicz A. // *Phys. Rev. Lett.* 1974. V. 32. N 13. P. 724—730.
- [21] Москаленко С. А., Хаджи П. И., Ротару А. Х. Солитоны и нугация в экситонной области спектра. Кишинев: Штиинца, 1980. 240 с.
- [22] Хаджи П. И., Москаленко С. А., Белкин С. Н. // *УФЖ.* 1980. Т. 25. № 3. С. 361—370.
- [23] Арнольд В. И. Математические методы классической механики. М.: Наука, 1974. 346 с.
- [24] Peyghambarian N., Chase L. L. // *Phys. Rev. Lett.* 1983. V. 27. N 4. P. 2325—2345.
- [25] Москаленко С. А., Ротару А. Х., Швера Ю. М. // *ТМФ.* 1988. Т. 75. № 2. С. 295—305.
- [26] Хаджи П. И., Шибаршина Г. Д., Ротару А. Х. Оптическая бистабильность в системе когерентных экситонов и блэкситонов в полупроводниках. Кишинев: Штиинца, 1988. 119 с.

Институт прикладной физики  
АН МССР  
Кишинев

Поступило в Редакцию  
4 января 1990 г.

В окончательной редакции  
6 июня 1990 г.